

## 高에너지 電子線の 傾斜照射로 인한 線量分布의 補償

延世大學校 醫科大學 放射線科學校室

秋 成 實 · 崔 炳 肅

### —Abstract—

#### Compensation of Dose Distribution for Sloping Field in High Energy Electron.

S. S. Chu, M. Sc., B. S. Choi, M. D., D. M. Sc.

*Department of Radiology and Nuclear Medicine, Yonsei University  
College of Medicine, Seoul, Korea.*

Compensation of dose distribution of an electron beam for the oblique incidence is to shift the standard isodose curves according to the distance of the air space.

The error of the corrected distribution from the measured one was more than 10% when the space was more than 2 cm in 8~12 MeV electron beam.

The electron beam diverged approximately in accordance with the inverse-square law when the scattering foil was assumed to be the virtual source.

Correction of the air space shifting and the inverse square law resulted in an error less than 3%.

### I. 緒 論

高에너지 電子線 治療에 있어서 遮蔽筒의 端과 皮膚 表面은 恒常 一致되는 것이 原則이지만 때때로 皮膚表面의 屈曲으로 인한 傾斜 및 空間 間隔을 避할 수가 없다. 더욱이 電子線은 粒子線으로서 有限한 飛程을 갖고 있으며 阻止放射線을 發生시키기 때문에 포리에칠렌等 組織 等價物質을 使用하여 空間 間隔을 補償할 境遇가 거의 없고 다만 空間 間隔에 對한 補正만이 主된 傾斜補償 方法이 된다.

이에 著者들은 8~12MeV 電子線에 依한 不規則한 傾斜 또는 曲面補償을 爲하여 우선 電子線 標準 線量分布의 等量曲線을 空間 間隔만큼 移動하여 얻어진 結果와 測定器로 實際 測定된 分布를 서로 檢討하여 새로운 矯正方法을 表示하였다.

### II. 測定方法

延世 癌센터에 設置된 LMR-13 線型加速 裝置에서 發生되는 8~12MeV의 高에너지 電子線을 利用하였으며 中心軸의 深部百分率은 물 phantom (40×40×60 cm)內에 美國 Victoreen 製 Radocon II Model 100HA의 thimble chamber를 profile monitor에 裝置하여 測定했으며 等量曲線은 Dupont 製의 工業用 film을 使用하여 gammagraph를 撮影한 後 522型 densitometer에 依해서 作圖하였다.

또한 高에너지 電子線의 gammagraph를 撮影하기 爲하여 cardboard holder에 工業用 film을 넣고 그림 1과 같이 20×30 cm의 polystyrene phantom 속에 插入하고 screw로써 壓着시켰으며 phantom과 film 사이의 空間效果를 避하기 爲하여 入射電子線의 方向과

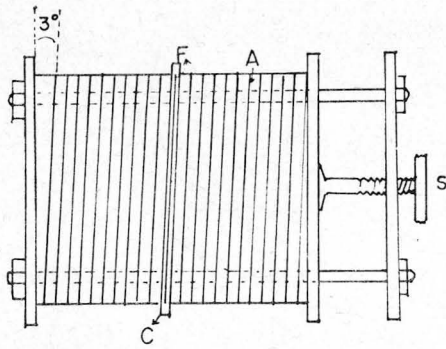


Fig. 1. Schematic diagram of phantom device for gammagraph.  
F: industrial film.  
A: polystyrene phantom  
C: cardboard holder  
S: screw.

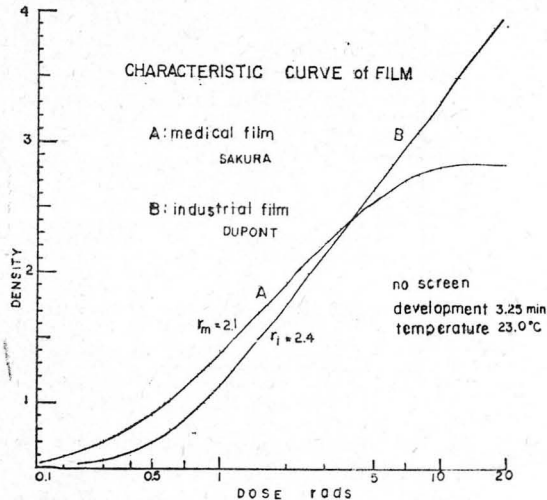


Fig. 2. Characteristic curve of film.

필름과의 方向을 約  $3^\circ$  기울여서 露出하였다.

露出된 필름을 같은 條件下에서 現像 定着한 後 필름의 黑化度와 電離函에 依하여 測定된 中心軸의 深部百分率을 比較하여 矯正시켰으며 使用된 film의 特性曲線은 그림 2와 같다.

電子線 照射는 phantom 面과 電子線의 主線束線과의 傾斜角을  $20^\circ$ 에서  $80^\circ$ 까지 變化시키면서 各各 8, 10, 12 MeV의 電子線을 照射하였다.

### III. 結果 및 考察

12 MeV의 에너지를 가진 電子線을 照射野  $10 \times 10$ cm

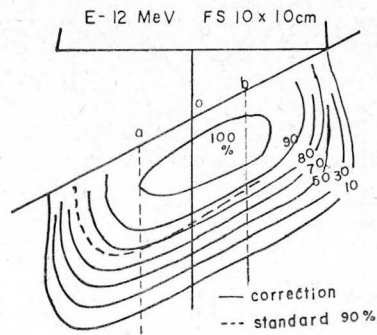


Fig. 3. Isodose curves of a  $30^\circ$  angle of incidence E-12 MeV.  $10 \times 10$ cm. Solid curves are from measurements, and broken curve is from the standard isodose (90%) shifted the distance of the air space between the treatment cone and the phantom surface.

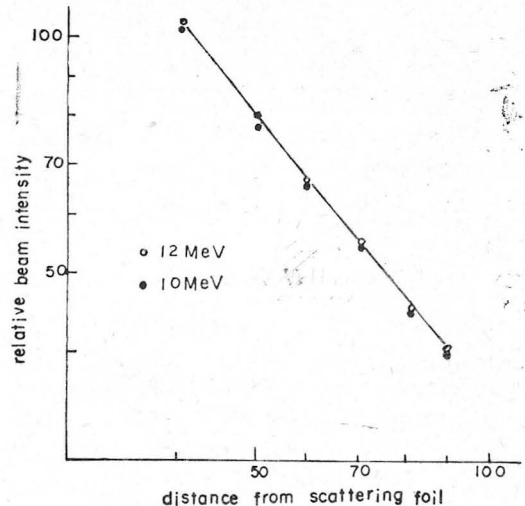


Fig. 4. Relative beam intensities of 10 and 12 MeV against the distance from the scattering foil. Solid curve shows decrease by inverse-square law, assuming the scattering foil to be the virtual source.

에 傾斜角  $30^\circ$ 로 照射하였을 때 그 線量分布는 그림 3과 같으며 여기서 實線은 測定値를 나타낸 것이며 點線은 標準 等量曲線을 空間 間隔만큼 移動시킨 것이다.

이 그림에서 實線과 點線의 差異는 線量分布曲線의 윗 部分에서 約 10% 以上이 되었다.

이와 같은 線量分布의 隔差를 밝히기 爲해서 6 mm 두께의 Lucite wall을 갖인 電離函을 空間內에 裝置하여 測定하였다.

그림 4는 10, 12 MeV 電子線의 強度를 散亂膜으로 부

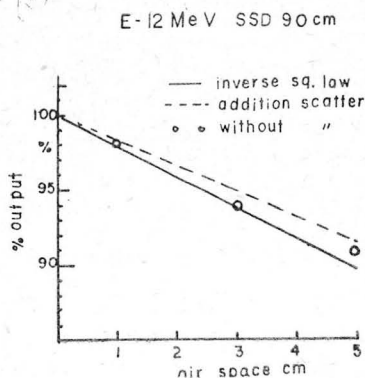


Fig. 5. Relative output of E-12 MeV at 1, 3 and 5 cm air space. Small circles are experimental. Solid curve is from the inverse-square law. Broken curve is experimental dose under addition scatter.

터距離에 따라 log-log 그래프 위에表示한 것인데 여기서放射線強度와距離사이의關係는 거의直線으로減少되며 이 값은電子線이散亂膜으로부터距離逆自乘法則에 따라分散되는 것과 거의 같다.

한편 phantom의表面下 0.5 cm 깊이에測定器를裝置하고 phantom을遮蔽筒의端으로부터 1, 3, 5 cm距離로移動하면서 12 MeV 電子線에서發生되는電子線의出力을測定하였다.

그結果 그림 5와 같이距離에 따른 12 MeV 電子線의出力이變化하였으며實際測定結果는圓點으로表示하였고實線은散亂膜을電子線의實効線源으로看做하여距離逆自乘法則에 따라計算한 것이며點線은遮蔽筒外側空間을 Acryl 板等으로附着했을 때의線量分布이다.

空間間隔으로因한電子線의分布에서實際測定에依한中心軸의深部百分率과標準深部率을空間間隔만큼移動한深部百分率과의線量差異는 10%를超過하였다.

그러나 이誤差를距離의逆自乘法則으로矯正하여使用하게 되면相互誤差는 3% 以內로 줄어든다. 그러므로 그림 1에서 나타난線量隔差는 주로電子線의分散에起因됨을 알 수 있다.

治療計劃에 있어서傾斜補償을 위하여距離逆自乘法則에 따라線量分布를計算하는 것은 어려울 뿐만 아니라時間的인浪費도 따른다.

그러므로 각각의等量曲線을空間間隔에 따라本來의移動보다 얼마나 더 많이移動되는가를表示하는 것이 더實用的이고正確하다.

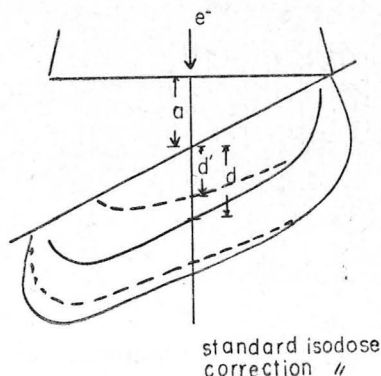


Fig. 6. Method to obtain correction distance for inverse-square law. Solid curve shows the standard depth-dose curve,  $D(f, d)$ . Dotted curve shows the depth-dose curve,  $D(f+a, d)$  with air space  $a$ .

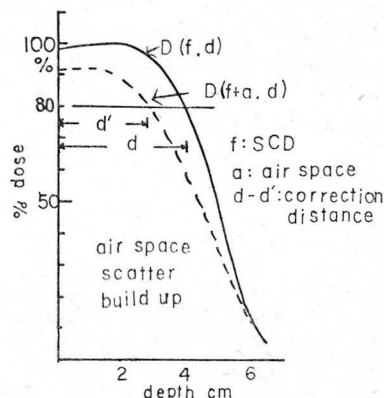


Fig. 7. Method to obtain correction distance for inverse-square law in central beam. Depth of 80% dose,  $d$ , is replaced to  $d'$  when there is air space. Difference,  $d-d'$  is the correction distance.

만약  $D(f, d)$ 가散亂膜과表面間의距離  $f$ 인 SSD와 깊이  $d$ 인點의線量이고空間間隔이  $a$ 만큼 더 떠있을 때 깊이  $d$ 인點의線量を  $D(f+a, d)$ 라고 하면

$$D(f+a, d) = \left( \frac{f+d}{f+a+d} \right)^2 D(f, d)$$

가되며  $d$  깊이에서의線量位置는 그곳에空間間隔이 있을 경우  $d'$  깊이로 옮겨진다. (그림 6)

그리고  $d'$ 는 다음方程式을滿足시키는 값이 된다. 即  $D(f+a, d') = D(f, d)$

$d-d'$ 의差異는 그림 7과 같이 깊이  $d$ 에서等量曲線의變位로서距離逆自乘法則에 따르며電子線照射에서空間間隔에依한變位補正距離는 그림 8, 9와 같다.

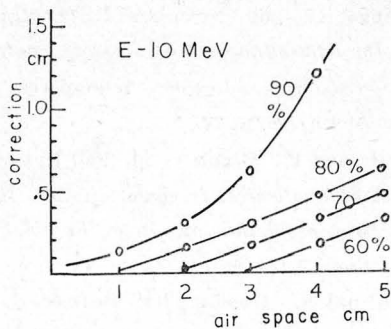


Fig. 8. Correction graph for E-10 MeV. Shows the relation of the correction distance and the air space for each percent dose.

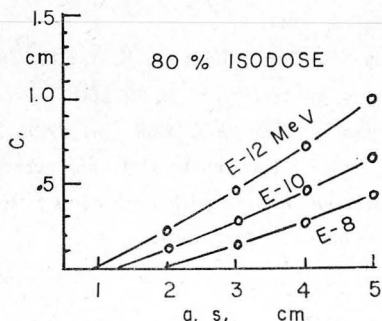


Fig. 9. Correction graph for 8, 10, 12 MeV electron at 80% isodose curve.

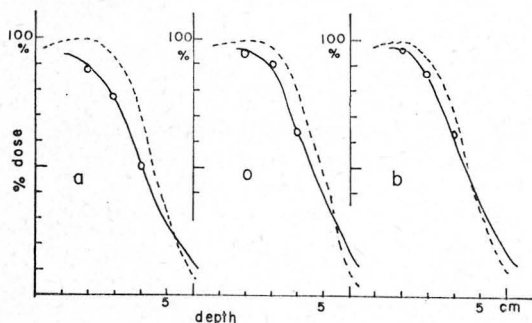


Fig. 10. Depth-dose curve of a 30° angle of incidence for 12 MeV electron. o, a, b, is the depth dose curve for central, 2cm separated axis.

그림 8은 10 MeV 전자선照射에서 공간간격이 1~5 cm로 증가함에 따라 補正距離는 0~1.5 cm 정도이며 深部率이 큰 部位에서 더 크게 補正되어야 한다.

그림 9는 전자선 에너지 8, 10, 12 MeV에서 공간 간격이 1~5 cm로 증가함에 따라 80%의 深部 等量曲線

에 對한 補正距離를 表示하였으며 에너지가 클수록 補正距離는 더 增加한다.

여기서 各 百分線量의 等量曲線은 空間 間隔에 對應하는 補正距離만큼 表面쪽으로 移動하는데 必要한 資料이다.

또한 이들 圖表는 전자선 에너지 8, 10, 12 MeV에서 照射野 10×10 cm에 對한 中心 線束의 深部 線量曲線에 對하여 測定된 것이지만 軸이 아닌 位置에 適應할 때나 照射野가 相異하여도 그 誤差가 적기 때문에 充分히 適用할 수가 있다.

그림 10은 12 MeV 전자선이 入射角에 垂直한 平面과 30° 기울어진 傾斜平面에 照射될 경우 發生되는 線量分布의 補償値를 表示한 것이다.

3個의 深部線量 曲線은 各 各 전자선 中心軸과 中心軸에 平行하고 左右 2cm 떨어진 面에 該當된다. 이 圖에서 實線은 直接 測定하여 表示한 것이며 點線은 標準分布를 移動시킨 것이고 둥근點은 距離 補償因子를 使用하여 矯正했을 때의 分布이며 이는 直接 測定된 資料와 잘 一致하였다.

#### IV. 結 論

高에너지 전자선에 依한 傾斜補償은 主로 放射線의 分散으로 因한 距離 逆自乘法則에 따르게 되므로 우선 實効線源의 位置를 結定해야 한다.

전자선은 加速器에서 加速된 後 가는 線으로 射出되며 다시 散亂膜에 依하여 비로소 넓게 分散되므로 散亂膜의 位置가 實効 線源으로 看做하는 것이 가장 適合하다.

또한 距離 逆自乘法則에 依한 補償値와 實際 測定値 사이에는 약간의 差異點이 있으며 이것은 다음 두가지의 原因이 있다고 생각된다.

첫째, 治療筒에 依한 散亂 전자선이 主線束과 같이被照射 物質에 附與되어 線量에 影響을 주며 이는 治療筒의 크기와 構成物質에 따라 變化한다.

둘째, phantom 內에서 전자선의 散亂에 起因되어主線束의 照射線量を 變化 시키는 것이며 이는 전자선의 에너지와 phantom 內의 物質 構造에 따라 變化하게 된다.

이와 같이 傾斜照射에 對한 전자선의 線量分布는 各 各 에너지, 傾斜角, 構成物質等에 따라 變化하지만 以上과 같은 實驗値를 使用 矯正하므로써 3% 以下로 線量誤差를 줄일 수 있으며 迅速하게 適用할 수 있기때문에 전자선 治療에 상당히 도움이 되리라고 確信한다.

## REFERENCES

1. Almond PR., Wright AE., Boone ML: *High energy electron dose perturbations in regions of tissue heterogeneity*. *Radiology* 88(1967) 1146.
2. Batchelor, A., Bewley, D.K., Morrison, R., and Stevenson, J. A.: *Electron therapy at 8MeV*. *Brit. J. Radiol.* 32(1959), 332.
3. Beattie, J.W., Tsien, K.C., Ovadia J. and Laughlin J.S.: *Production and properties of high energy electrons for therapy*. *Amer. J. Roentgenol* 88(1962). 235.
4. Bradshaw A.L. and Maysent A.M.: *Physical aspects of electron therapy using the 15 MeV linear accelerator*. *Brit. J. Radiol*, 37 (1964), 219.
5. Dolphin GW, Gale NH, Bradshaw AL: *Investigations of high energy electron beams for use in therapy*. *Brit. J. Radiol.* 32(1959) 13.
6. Hettinger G. and Svensson H: *Photographic film for determination of isodose curve from betatron electron radiation*. *Acta radiol. Ther. Phys. Biol.* 6(1967), 74.
7. Karzalainen P, Brenner M, and Ryttilä, A: *Effect of anatomical irregularities on the dose in electron beam therapy*. *Acta. Radiol. Ther. phys. Biol.* 7 (1968) 129,
8. Laughlin J.S. Ovadia. J., Beattie J.W. et coll: *Some physical aspects of electron beam therapy*. *Radiology* 60(1953). 165.
9. Laughlin J.S.: *Review of dose distribution data for electrons*, ICRU, WHO and IAEA Conference, Geneva, 1961.
10. Linskou. B. Och Johansson K.A.: *Collimator and scattering foil for 10-20 MeV electrons*. *Acta radiol. Ther. Phys. Biol.* 10(1971), 21.
11. Loevinger R., Karzmark C.J. and Weisbluth M: *Radiation therapy with high-energy electrons*. *Radiology* 77(1961), 906.